
Índice general

Índice general	1
1. Modelo de cámara y estimación de pose monocular	2
1.1. Introducción	2
1.2. Calibración de cámara: modelo pin-hole [1]	2
1.2.1. Fundamentos y definiciones	2
1.2.2. Matriz de proyección	4
1.3. Distorsión introducida por las lentes	6
1.4. Métodos para la calibración de cámara	7
Bibliografía	10

CAPÍTULO 1

Modelo de cámara y estimación de pose monocular

1.1. Introducción

Se le llama “estimación de pose” al proceso mediante el cual se calcula en qué punto del mundo y con qué orientación se encuentra determinado objeto respecto de un eje de coordenadas previamente definido al que se lo llama *ejes del mundo*. Las aplicaciones de realidad aumentada requieren de un modelado preciso del entorno respecto de estos ejes, para poder ubicar correctamente los agregados virtuales dentro del modelo y luego dibujarlos de forma coherente en la imagen vista por el usuario. El objeto cuya estimación de pose resulta de mayor importancia es la cámara, ya que por ésta es por donde se mira la escena y es respecto de ésta que los objetos virtuales deben ubicarse de manera consistente. Una forma de estimar la pose de la cámara es mediante el uso de las imágenes capturadas por ella misma.

Asimismo, el concepto “monocular” hace referencia al uso de una sola cámara, ya que es posible trabajar con más de una.

Para poder estimar la pose de una cámara, resulta necesario modelarla adecuadamente ya que no todas las cámaras son iguales. El modelo más comunmente utilizado es el denominado *pin-hole*. Para modelar completamente la cámara se deben estimar ciertos *parámetros intrínsecos* a ésta, y eso se logra luego de realizados ciertos experimentos. A la estimación de estos parámetros se le denomina *calibración de la cámara*.

1.2. Calibración de cámara: modelo pin-hole [1]

1.2.1. Fundamentos y definiciones

Este modelo consiste en un centro óptico C , en donde convergen todos los rayos de la proyección y un plano imagen en el cual la imagen es proyectada. Se define “distancia focal” (f) como la distancia entre el centro óptico C y el cruce del eje óptico por el plano imagen (punto P). Ver imagen 1.1.

Para modelar el proceso de proyección (proceso en el que se asocia al punto \mathbf{M} del mundo, un punto \mathbf{m} en la imagen), es necesario referirse a varias transformaciones y varios ejes de coordenadas.

- *Coordenadas del mundo*: son las coordenadas que describen la posición 3D del punto \mathbf{M} . Se definen respecto de los *ejes del mundo* (X_m, Y_m, Z_m) . La elección de los ejes del mundo es arbitraria.

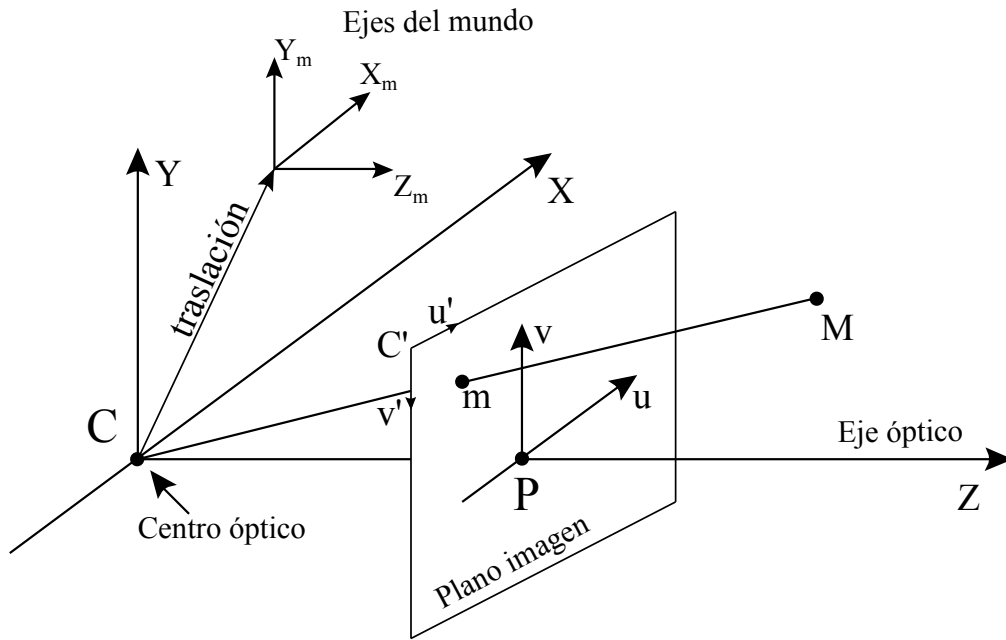


Figura 1.1: Modelo de cámara pin-hole.

- *Coordenadas de la cámara:* son las coordenadas que describen la posición del punto **M** respecto de los ejes de la cámara (X, Y, Z) .
- *Coordenadas de la imagen:* son las coordenadas que describen la posición del punto 2D, **m**, respecto del centro del plano imagen, P. Los ejes de este sistema de coordenadas son (u, v) .
- *Coordenadas normalizadas de la imagen:* son las coordenadas que describen la posición del punto 2D, **m**, respecto del eje de coordenadas (u', v') situado en la esquina superior izquierda del plano imagen.

La transformación que lleva del punto **M**, expresado respecto de las coordenadas del mundo, al punto **m**, expresado respecto del sistema de coordenadas normalizadas de la imagen, se puede ver como la composición de dos transformaciones menores. La primera, es la que realiza la proyección que transforma a un punto definido respecto del sistema de coordenadas de la cámara (X, Y, Z) en otro punto sobre el plano imagen expresado respecto del sistema de coordenadas normalizadas de la imagen (u', v') . Véase que una vez calculada esta transformación, es una constante característica de cada cámara. Se le llama al conjunto de valores que definen esta transformación *parámetros intrínsecos* de la cámara. La segunda, es la transformación que lleva de expresar a un punto respecto de los ejes del mundo (X_m, Y_m, Z_m) , a los ejes de la cámara (X, Y, Z) . Esta última transformación varía conforme se mueve la cámara (respecto de los ejes del mundo) y el conjunto de valores que la definen es denominado *parámetros extrínsecos* de la cámara. Del cálculo de estos parámetros es que se obtiene la estimación de la pose de la cámara.

De lo anterior se concluye rápidamente que si se le llama H a la matriz proyección total, tal que:

$$m = H.M,$$

entonces:

$$H = I.E$$

donde I corresponde a la matriz proyección asociada a los parámetros intrínsecos y E corresponde a la matriz asociada a los parámetros extrínsecos. Ambos juegos de parámetros acarrean información

información muy valiosa:

- **Parámetros extrínsecos:** pose de la cámara.
 - Traslación: ubicación del centro óptico de la cámara respecto de los ejes del mundo.
 - Rotación: rotación del sistema de coordenadas de la cámara (X, Y, Z) , respecto de los ejes del mundo.
- **Parámetros intrínsecos:** parámetros propios de la cámara. Dependen de su geometría interna y de su óptica.
 - Punto principal ($P = [u'_p, v'_p]$): es el punto intersección entre el eje óptico y el plano imagen. Las coordenadas de este punto vienen dadas en píxeles y son expresadas respecto del sistema normalizado de la imagen.
 - Factores de conversión píxel-milímetros (d_u, d_v): indican el número de píxeles por milímetro que utiliza la cámara en las direcciones u y v respectivamente.
 - Distancia focal (f): distancia entre el centro óptico (**C**) y el punto principal (**P**). Su unidad es el milímetro.
 - Factor de proporción (s): indica la proporción entre las dimensiones horizontal y vertical de un píxel.

1.2.2. Matriz de proyección

En la sección anterior se vio que es posible hallar una “matriz de proyección” H que dependa tanto de los parámetros intrínsecos de la cámara como de sus parámetros extrínsecos:

$$m = H.M$$

donde **M** y **m** son los puntos ya definidos y vienen expresados en *coordenadas homogéneas*. Por más información acerca de este tipo de coordenadas ver [9].

Para determinar la forma de la matriz de proyección se estudia cómo se relacionan las coordenadas de **M** con las coordenadas de **m**; para hallar esta relación se debe analizar cada transformación, entre los sistemas de coordenadas mencionados con anterioridad, por separado.

- **Proyección 3D - 2D:** de las coordenadas homogéneas del punto **M** expresadas en el sistema de coordenadas de la cámara (X_0, Y_0, Z_0, T_0) , a las coordenadas homogéneas del punto **m** expresadas en el sistema de coordenadas de la imagen (u_0, v_0, s_0) :
Se desprende de la imagen 1.1 y algo de geometría proyectiva la siguiente relación entre las coordenadas en cuestión y la distancia focal (f):

$$\frac{f}{Z_0} = \frac{u_0}{X_0} = \frac{v_0}{Y_0}$$

A partir de la relación anterior:

$$\begin{pmatrix} u_0 \\ v_0 \end{pmatrix} = \frac{f}{Z_0} \begin{pmatrix} X_0 \\ Y_0 \end{pmatrix}$$

Expresado en forma matricial, en coordenadas homogéneas:

$$\begin{pmatrix} u_0 \\ v_0 \\ s_0 \end{pmatrix} = \begin{pmatrix} f & 0 & 0 & 0 \\ 0 & f & 0 & 0 \\ 0 & 0 & 1 & 0 \end{pmatrix} \begin{pmatrix} X_0 \\ Y_0 \\ Z_0 \\ 1 \end{pmatrix}$$

- **Transformación imagen - imagen:** de las coordenadas homogéneas del punto **m** expresadas respecto del sistema de coordenadas de la imagen (u_0, v_0, s_0) , a las coordenadas homogéneas de él mismo pero expresadas respecto del sistema de coordenadas normalizadas de la imagen (u'_0, v'_0, s'_0) :

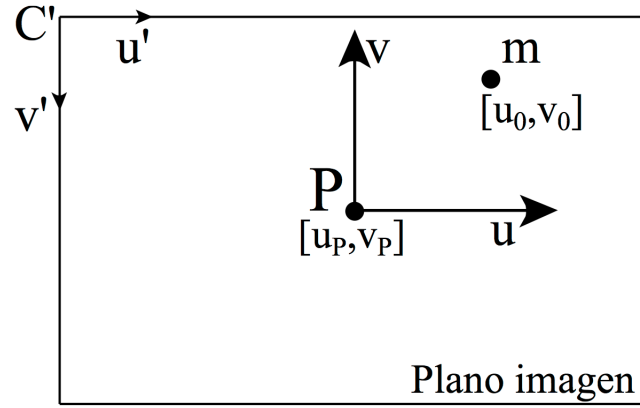


Figura 1.2: Relación entre el sistema de coordenadas de la imagen y el sistema de coordenadas normalizadas de la imagen.

Se les suma, a las coordenadas de **m** respecto del sistema de la imagen, la posición del punto P respecto del sistema normalizado de la imagen (u'_P, v'_P) . Las coordenadas de **m** dejan de ser expresadas en milímetros para ser expresadas en píxeles. Aparecen los factores de conversión d_u y d_v :

$$\begin{aligned} u'_0 &= d_u \cdot u_0 + u'_P \\ v'_0 &= d_v \cdot v_0 + v'_P \end{aligned}$$

Se obtiene entonces la siguiente relación matricial, en coordenadas homogéneas:

$$\begin{pmatrix} u'_0 \\ v'_0 \\ s'_0 \end{pmatrix} = \begin{pmatrix} d_u & 0 & u'_P \\ 0 & d_v & v'_P \\ 0 & 0 & 1 \end{pmatrix} \begin{pmatrix} u_0 \\ v_0 \\ 1 \end{pmatrix}$$

- **Matriz de parámetros intrínsecos (I):** de las coordenadas homogéneas del punto **M** expresadas en el sistema de coordenadas de la cámara (X_0, Y_0, Z_0, T_0) , a las coordenadas homogéneas del punto **m** expresadas respecto del sistema de coordenadas normalizadas de la imagen (u'_0, v'_0, s'_0) :

Se obtiene combinando las dos últimas transformaciones. Nótese que como ya se aclaró, depende únicamente de parámetros propios de la construcción de la cámara:

$$I = \begin{pmatrix} d_u \cdot f & 0 & u'_P & 0 \\ 0 & d_v \cdot f & v'_P & 0 \\ 0 & 0 & 1 & 0 \end{pmatrix}$$

Nota: De forma genérica se puede agregar a la matriz de parámetros intrínsecos del modelo *pin-hole* un parámetro s llamado en inglés *skew parameter*, o “parámetro de sesgado” en Español. Este parámetro toma valores distintos de cero muy rara vez, pues modela los casos en los que los ejes x e y de los píxeles de la cámara no son perpendiculares entre sí. En casos realistas, $s \neq 0$ cuando por ejemplo se toma una fotografía de una fotografía. La matriz de parámetros intrínsecos, tomando en cuenta este parámetro, tendrá la forma:

$$I = \begin{pmatrix} d_u \cdot f & s & u'_p & 0 \\ 0 & d_v \cdot f & v'_p & 0 \\ 0 & 0 & 1 & 0 \end{pmatrix}$$

- **Matriz de parámetros extrínsecos (E):** de las coordenadas homogéneas del punto \mathbf{M} expresadas respecto del sistema de coordenadas del mundo $(X_{m0}, Y_{m0}, Z_{m0}, T_{m0})$, a las coordenadas homogéneas de él mismo pero expresadas respecto del sistema de coordenadas de la cámara (X_0, Y_0, Z_0, T_0) :

Se obtiene de estimar la pose de la cámara respecto de los ejes del mundo y es la combinación de, primero una rotación R , y luego una traslación T . Se obtiene entonces la siguiente representación matricial:

$$\begin{pmatrix} X_0 \\ Y_0 \\ Z_0 \\ T_0 \end{pmatrix} = \begin{pmatrix} R & T \\ 0 & 1 \end{pmatrix} \begin{pmatrix} X_{m0} \\ Y_{m0} \\ Z_{m0} \\ T_{m0} \end{pmatrix}$$

donde la matriz de parámetros extrínsecos desarrollada toma la forma:

$$E = \begin{pmatrix} r_{11} & r_{12} & r_{13} & t_x \\ r_{21} & r_{22} & r_{23} & t_y \\ r_{31} & r_{32} & r_{33} & t_z \\ 0 & 0 & 0 & 1 \end{pmatrix}$$

- **Matriz de proyección (H):** de las coordenadas homogéneas del punto \mathbf{M} expresadas respecto del sistema de coordenadas del mundo $(X_{m0}, Y_{m0}, Z_{m0}, T_{m0})$, a las coordenadas homogéneas del punto \mathbf{m} expresadas respecto del sistema de coordenadas normalizadas de la imagen (u'_0, v'_0, s'_0) :

Es la proyección total y se obtiene combinando las dos transformaciones anteriores:

$$\begin{pmatrix} u'_0 \\ v'_0 \\ s'_0 \end{pmatrix} = \begin{pmatrix} d_u \cdot f & 0 & u'_p & 0 \\ 0 & d_v \cdot f & v'_p & 0 \\ 0 & 0 & 1 & 0 \end{pmatrix} \cdot \begin{pmatrix} r_{11} & r_{12} & r_{13} & t_x \\ r_{21} & r_{22} & r_{23} & t_y \\ r_{31} & r_{32} & r_{33} & t_z \\ 0 & 0 & 0 & 1 \end{pmatrix} \cdot \begin{pmatrix} X_{m0} \\ Y_{m0} \\ Z_{m0} \\ T_{m0} \end{pmatrix}$$

1.3. Distorsión introducida por las lentes

Hasta el momento se asumió que el modelo lineal presentado para la proyección de cualquier punto del mundo en el plano imagen de la cámara es lo suficientemente preciso en todos los casos. Sin embargo, en casos reales, y cuando las lentes de las cámaras no son del todo buenas, la distorsión introducida por estas se hace cada vez más evidente. Dado un punto \mathbf{M} de

coordenadas (X, Y, Z) respecto de los ejes de la cámara, se le llama distorsión a la diferencia entre la proyección ideal de dicho punto en el plano imagen (u_0, v_0) y su proyección real $(\tilde{u}_0, \tilde{v}_0)$. La más común de todas, es la denominada “distorsión radial”, ya que su magnitud depende del radio medido desde el punto principal del plano imagen, hasta las coordenadas del punto en cuestión.

La forma de solucionar el presente problema es realizar una corrección de la distorsión, modelando a la misma de la siguiente manera:

$$\begin{pmatrix} \tilde{u}_0 \\ \tilde{v}_0 \end{pmatrix} = L(r) \cdot \begin{pmatrix} u_0 \\ v_0 \end{pmatrix},$$

donde r es la distancia radial $\sqrt{u_0^2 + v_0^2}$ y $L(r)$ es un factor de distorsión que depende únicamente del radio r . Si se desarrolla la ecuación anterior, y se expresa en píxeles, respecto del sistema de coordenadas normalizadas de la imagen; se obtiene lo siguiente:

$$\begin{aligned} \tilde{u}_0' &= u_p' + L(r)(u_0' - u_p') \\ \tilde{v}_0' &= v_p' + L(r)(v_0' - v_p') \end{aligned}$$

donde $(\tilde{u}_0', \tilde{v}_0')$ son las coordenadas reales de la proyección medidas en píxeles, (u_0', v_0') son las coordenadas ideales de la proyección medidas también en píxeles y (u_p', v_p') son las coordenadas del punto principal. Véase que en este caso $r = \sqrt{(u_0' - u_p')^2 + (v_0' - v_p')^2}$.

La función $L(r)$ es definida sólo para valores positivos de r y $L(0) = 1$. Una aproximación a la función arbitraria $L(r)$ puede ser una expansión de Taylor: $L(r) = 1 + k_1 r + k_2 r^2 + k_3 r^3 + \dots$. Finalmente, a la hora de calcular los parámetros intrínsecos de una cámara, también deben ser estimados sus coeficientes de distorsión radial $\{k_1, k_2, k_3, k_4, \dots\}$.

1.4. Métodos para la calibración de cámara

Como se vió algunos párrafos atrás, el proceso mediante el cual se calculan los parámetros intrínsecos reales de una cámara es denominado “calibración de cámara”. Existen varios métodos para calibrar una cámara; sin embargo, los tres algoritmos, basados en modelos planos, más ampliamente utilizados alrededor del mundo [14] son el método de Zhang [11], el método de R.Y. Tsai [15] y un método llamado “Direct Linear Transform” (DLT) [16]. Para calibrar las cámaras utilizadas en este proyecto, se se trabajó con una implementación en *Matlab* basada en el método de Zhang ([13]), que afortunadamente dió resultados muy buenos. Por eso, se explicará a continuación, de forma breve, cómo funciona este método. Por dudas respecto de cualquier resultado matemático expuesto sin los cálculos intermedios, siempre se recomienda leer el artículo original.

El método de Zhang es muy sencillo y flexible. Sólo requiere de la cámara a calibrar, una computadora y una imagen patrón (plana), de tipo damero; a la que se le tomarán al menos dos fotografías desde orientaciones distintas. En la figura 1.3 se ve una de las imágenes utilizadas para calibrar la cámara del *iPad* durante el proyecto. Ni las posiciones de la cámara en cada caso, ni el movimiento entre estas posiciones tienen por qué ser conocidos. Este método devuelve los parámetros intrínsecos de la cámara correspondientes al modelo *pin-hole* visto algunos párrafos atrás, sus parámetros



Figura 1.3: Imagen de un damero, utilizada para calibrar la cámara del *iPad* durante el proyecto.

extrínsecos para cada fotografía utilizada para la calibración y la distorsión radial de sus lentes.

Recuérdese que la relación entre un punto 3D \mathbf{M} expresado respecto de las coordenadas del mundo y su proyección en el plano imagen \mathbf{m} , expresada respecto de los ejes normalizados de la imagen, viene dada por:

$$\mathbf{m} = \mathbf{I} \cdot \mathbf{E} \cdot \mathbf{M}$$

donde \mathbf{E} representa a la matriz de parámetros extrínsecos e \mathbf{I} representa a la matriz de parámetros intrínsecos de la cámara. Además:

$$\mathbf{I} = \begin{pmatrix} \alpha & s & u'_p \\ 0 & \beta & v'_p \\ 0 & 0 & 1 \end{pmatrix}$$

con $\alpha = d_u \cdot f$ y $\beta = d_v \cdot f$.

Se asume en este método que el sistema de coordenadas del mundo “reposa” sobre la imagen patrón; o lo que es lo mismo, que esta se encuentra en $Z = 0$. Se obtiene entonces la siguiente simplificación:

$$\begin{pmatrix} u'_0 \\ v'_0 \\ 1 \end{pmatrix} = \mathbf{I} \cdot \begin{pmatrix} r_1 & r_2 & r_3 & t \end{pmatrix} \cdot \begin{pmatrix} X_{m0} \\ Y_{m0} \\ Z_{m0} \\ 1 \end{pmatrix} = \mathbf{I} \cdot \begin{pmatrix} r_1 & r_2 & t \end{pmatrix} \cdot \begin{pmatrix} X_{m0} \\ Y_{m0} \\ 1 \end{pmatrix}$$

donde $(X_{m0}, Y_{m0}, Z_{m0}, 1)^T$ denota las coordenadas homogéneas del punto \mathbf{M} respecto de los ejes del mundo y $(u'_0, v'_0, 1)^T$ representa las coordenadas homogéneas de su proyección en el plano imagen, \mathbf{m} , respecto de los ejes normalizados de la imagen. Se le llamó r_i a la i -ésima columna de la matriz rotación de los parámetros extrínsecos de la cámara.

Dada una fotografía de la imagen patrón plana (figura 1.3), es posible estimar una homografía que relacione a los puntos de la imagen con sus correspondientes en la fotografía. Si se toma en cuenta que dicha homografía vale $H = (h_1, h_2, h_3) = \mathbf{I} \cdot (r_1, r_2, t)$, con h_i la i -ésima columna de la matriz, y que las columnas r_1 y r_2 son ortonormales entre sí, realizando algo de matemática se llega a que:

$$\begin{aligned} h_1^T \cdot (\mathbf{I}^{-1})^T \cdot \mathbf{I}^{-1} \cdot h_2 &= 0 \\ h_1^T \cdot (\mathbf{I}^{-1})^T \cdot \mathbf{I}^{-1} \cdot h_1 &= h_2^T \cdot (\mathbf{I}^{-1})^T \cdot \mathbf{I}^{-1} \cdot h_2 \end{aligned}$$

Las anteriores son las únicas dos relaciones básicas entre parámetros intrínsecos que se pueden obtener a partir de una única homografía. Esto es porque una homografía tiene 8 grados de libertad y existen 6 parámetros extrínsecos (3 para la traslación y 3 para la rotación).

Si se define la matriz B como sigue:

$$B = (I^{-1})^T \cdot I^{-1} = \begin{pmatrix} B_{11} & B_{21} & B_{31} \\ B_{12} & B_{22} & B_{32} \\ B_{13} & B_{23} & B_{33} \end{pmatrix} = \begin{pmatrix} \frac{1}{\alpha^2} & -\frac{s}{\alpha^2 \cdot \beta} & \frac{s \cdot v'_p - u'_p \cdot \beta}{\alpha^2 \cdot \beta} \\ -\frac{s}{\alpha^2 \cdot \beta} & \frac{s^2}{\alpha^2 \cdot \beta^2} + \frac{1}{\beta^2} & -\frac{s(s \cdot v'_p - u'_p \cdot \beta)}{\alpha^2 \cdot \beta^2} - \frac{v'_p}{\beta^2} \\ \frac{s \cdot v'_p - u'_p \cdot \beta}{\alpha^2 \cdot \beta} & -\frac{s(s \cdot v'_p - u'_p \cdot \beta)}{\alpha^2 \cdot \beta^2} - \frac{v'_p}{\beta^2} & \frac{(s \cdot v'_p - u'_p \cdot \beta)^2}{\alpha^2 \cdot \beta^2} + \frac{v_p^2}{\beta^2} + 1 \end{pmatrix}$$

se ve fácilmente que esta es simétrica, por lo que quedará absolutamente definida por un vector de 6 dimensiones:

$$b = (B_{11}, B_{12}, B_{22}, B_{13}, B_{23}, B_{33})^T$$

Si además se define el vector variable v_{ij} de la siguiente manera:

$$v_{ij} = (h_{i1} \cdot h_{j1}, h_{i1} \cdot h_{j2} + h_{i2} \cdot h_{j1}, h_{i2} \cdot h_{j2}, h_{i3} \cdot h_{j1} + h_{i1} \cdot h_{j3}, h_{i3} \cdot h_{j2} + h_{i2} \cdot h_{j3}, h_{i3} \cdot h_{j3})^T,$$

se tiene que:

$$h_i^T \cdot B \cdot h_j = v_{ij}^T \cdot b$$

Las dos relaciones básicas entre parámetros intrínsecos obtenidas de una única homografía, vistas anteriormente, pueden ser reescritas como:

$$\begin{pmatrix} v_{12}^T \\ (v_{11} - v_{22})^T \end{pmatrix} \cdot b = V \cdot b = 0$$

Utilizando n fotografías distintas de la imagen patrón, y por lo tanto n homografías distintas se obtiene una matriz V de tamaño $2 \cdot n \times 6$. Es sabido que si $n \geq 3$, el sistema matricial anterior tendrá una solución b única, que varía según cierto factor de escala. Sin embargo, si $n = 2$, es posible imponer la condición $s = 0$ y así también calcular al vector b de forma única, sin mayores problemas.

Una vez estimado b es posible reconstruir la matriz de parámetros intrínsecos I , para luego utilizando I y las homografías H obtener los parámetros extrínsecos de la cámara para cada fotografía utilizada para la calibración.

El artículo de Zhang afirma que la solución obtenida hasta el momento no es del todo buena, pues se obtuvo minimizando una distancia algebraica y eso no tiene mucho sentido. Lo que se hace entonces es, utilizando las n fotografías tomadas para la calibración y los k puntos seleccionados en cada una de ellas, minimizar la siguiente ecuación:

$$\sum_{i=1}^n \sum_{j=1}^k \|m_{ij} - \hat{m}(I, E_i, M_j)\|^2$$

donde $\hat{m}(I, E_i, M_j)$ es la proyección del punto M_j en la imagen i utilizando la homografía $H_i = I \cdot E_i$. El resultado de dicha minimización no lineal será el resultado final. Este método requiere de valores iniciales para I y para los $E_i|_{i=1..n}$; que serán los obtenidos en los cálculos anteriores.

Finalmente se realiza una estimación de la distorsión radial utilizando un modelo muy similar al visto en la sección 1.3. Cabe destacar que cuando se estimaron los parámetros intrínsecos de las cámaras utilizadas en este proyecto, la distorsión radial no se tomó en cuenta y aún así los resultados obtenidos fueron realmente muy precisos.

Bibliografía

- [1] J. García Ocón. Autocalibración y sincronización de múltiples cámaras plz. 2007.
- [2] B. Furht. *The Handbook of Augmented Reality*. 2011.
- [3] C. Avellone and G. Capdehourat. Posicionamiento indoor con señales wifi. 2010.
- [4] Philip David, Daniel Dementhon, Ramani Duraiswami, and Hanan Samet. Simultaneous pose and correspondence determination using line features. pages 424–431, 2003.
- [5] Philip David, Daniel Dementhon, Ramani Duraiswami, and Hanan Samet. Softposit: Simultaneous pose and correspondence determination. pages 424–431, 2002.
- [6] Daniel F. DeMenthon and Larry S. Davis. Model-based object pose in 25 lines of code. *International Journal of Computer Vision*, 15:123–141, 1995.
- [7] Denis Oberkampf, Daniel F. DeMenthon, and Larry S. Davis. Iterative pose estimation using coplanar feature points. *Comput. Vis. Image Underst.*, 63(3):495–511, may 1996.
- [8] R. Grompone von Gioi, J. Jakubowicz, J. M. Morel, and G. Randall. Lsd: A fast line segment detector with a false detection control. *IEEE Transactions on Pattern Analysis and Machine Intelligence*, 32(4):722–732, April 2010.
- [9] R. I. Hartley and A. Zisserman. *Multiple View Geometry in Computer Vision*. Cambridge University Press, ISBN: 0521540518, second edition, 2004.
- [10] V. Lepetit and P. Fua. Monocular model-based 3d tracking of rigid objects: A survey. *Foundations and Trends in Computer Graphics and Vision*, 1(1):1–89, 2005.
- [11] Zhengyou Zhang. Flexible camera calibration by viewing a plane from unknown orientations. In *ICCV*, pages 666–673, 1999.
- [12] Jane Heikkilä and Olli Silvén. A four-step camera calibration procedure with implicit image correction. In *1997 Conference on Computer Vision and Pattern Recognition (CVPR 97), June 17-19, 1997, San Juan, Puerto Rico*, page 1106. IEEE Computer Society, 1997.
- [13] Jean-Yves Bouguet. Camera calibration toolbox for matlab. http://www.vision.caltech.edu/bouguetj/calib_doc/, November 2012.
- [14] Helmut Zollner and Robert Sablatnig. Comparison of methods for geometric camera calibration using planar calibration targets. In W. Burger and J. Scharinger, editors, *Digital Imaging in Media and Education, Proc. of the 28th Workshop of the Austrian Association for Pattern Recognition (OAGM/AAPR)*, volume 179, pages 237–244. Schriftenreihe der OCG, 2004.

- [15] R.Y. Tsai. An efficient and accurate camera calibration technique for 3d machine vision. In *Proceedings of IEEE Conference on Computer Vision and Pattern Recognition*, pages 364–374, 1986.
- [16] Y. I. Abdel-Aziz and H. M. Karara. Direct linear transformation from comparator coordinates into object space coordinates in close-range photogrammetry. In *Proceedings of the Symposium on Close-Range photogrammetry*, volume 1, pages 1–18, 1971.